

II-135 河岸の侵食機構について

京都大学防災研究所 正員 村本嘉雄

京都大学防災研究所 正員 ○藤田裕一郎

1. まえがき 河岸侵食は、沖積河道の蛇行などの流路の平面変動を支配する現象であり、山地部河道では土砂生産機構の一部を担っている。洪水時に大災害をもたらす破堤は河岸侵食と直接結びついている。したがってあるうえられた流量 Q 、流砂量 Q_B を安全に通過させうる安定流路の問題と深く関連している。河岸侵食は河岸構成材料と河岸近傍の水理条件の二者に支配されよう。前者は粘着性材料と非粘着性材料に大別でき、侵食機構は大きく異なっていると思われる。後者には河岸近くの斜面こう配、掃流力、二次流などがあげられるが、直接測定できるのはこう配だけで、他の2つは河岸材料の挙動などから推定することが考えられるが、極めて困難であろう。非粘着性材料に限って考えても、河岸侵食を水理学的に取扱うには明らかにしなければならない点が多く残されている。

河岸侵食の進行は流路拡幅として観察できるが、その例を図-1に示す。これは流入端から2mの点で観察したものである。給砂した場合 ($Q_B = 1 \text{ cm}^3/\text{sec}$)、拡幅の進行は早く、しない場合は停止するようだが、再び急激に拡幅する。これは不規則な形状の Ripple が河岸に近づいて流水を集中させたためで、 $d_m = 0.42 \text{ mm}$ の細砂だと、小規模な河床形態によても河岸侵食が促進されることがわかる。

2. 河岸侵食の停止に関する仮定について 河岸侵食の停止の条件は、河岸近傍の掃流力と河岸界面の限界掃流力とによって示されると考え、河岸近傍の摩擦速度 U_e を断面平均値 U に対する補正係数 ϵ で $U_e = \epsilon U$ で表わせば $\epsilon U = U_e$ となる。慣用記号を用いて $Q_B = M_1(U_e - U_c)B U_{ad}$ 、 $U = Q/Bh = c U_e$ とすると、 Q と Q_B が一定の流路では、 $B = \frac{g Q I_e}{c} \left(1 - \frac{1}{\epsilon}\right) C Q_B / M_1 Q I_e \frac{3}{2} / c U_e^3$ —①、侵食停止の条件は $B = \frac{g Q I_e}{c} U_e^2 - ②$ このとき、 $Q_B = M_1(1 - \epsilon^2) Q I_e / (1 - \epsilon)$ であり、河岸は安定で河床には流砂の存在する動的平衡状態の河道が形成されている。さらに流砂の存在しなくなる条件は

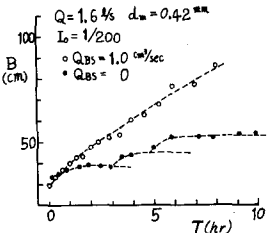


図-1 流路幅の変化

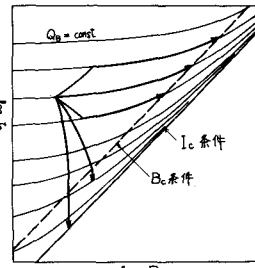


図-2 侵食停止限界

$B = \frac{g Q I_e}{c} U_e^2 - ③$ で示され、このとき静的平衡状態の河道が形成される。図-2にこれらの関係を、④は $Q_B = \text{const}$ の曲線で、⑤を B_c 条件、⑥を I_c 条件で示し、与えられた Q_B に対して安定な河道に到る径路を矢印で表わしている。つぎに ϵ について検討するために、固定床での側壁の掃流力の最大値と $P_g R I_e$ の比と B/h の関係を示したもののが図-3である。各値は長方形断面では良く一致した傾向をみせているが、台形断面では値が大きく変化しており、 $B/h = 2 \sim 3$ で 1.4 程度の極大値を示している。実河道の断面形は台形に近いが、曲線形であることは、 B/h が大きいことを考え、円形断面で分布を測った Replogle & Chow¹¹ の結果を参照すると $\epsilon = 1/4$ 以下であると考えられる。実験的にも $B = 56 \text{ cm}$ 、河床こう配 $I = 1/200$ 、 $d_m = 0.42 \text{ mm}$ 、長さ 8 m の流路に $Q = 1 \text{ l/s}$ で 80 分通水したところ、河岸の侵食は全くみられなかったが $Q_B = 1 \text{ cm}^3/\text{sec}$ であるような状態を生じることが観察された。この場合、結果的に $\epsilon = 0.7 \sim 0.8$ となることがわかった。

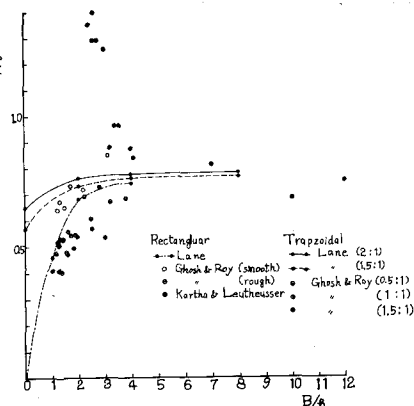


図-3 側壁の最大掃流力

3. 河岸の侵食形態と侵食された河の拡散 河岸侵食には、水面より上部の崩落を生じる場合(A)と漸次表面

の砂を侵食していく場合(1)とがある。静水位を上昇させて崩落幅と水面上の河岸高を測定したものが図-4で、河岸高とほぼ比例した崩落幅をもち、崩落の生じなくなる高さは2cmであることを示す。静水位の上昇によって生じる崩落は、水面下部で表面張力が消えて水中安息角になり、オーバーハングの状態が生じたためである。流水の場合も同じ現象は生じ、水位が上昇すれば崩落は生じやすくなる。流水中に入った河岸砂の拡散は河岸侵食量の関連する横方向の流砂の連続関係を知る上で重要であり、侵食形態はこの抗散過程に影響を与える。 $B=60\text{cm}$, $I=1/200$, 流入端から3mの左岸を2cm幅に着色砂で置換し、 $Q=3\text{l/s}$ でそれから20分通水して河岸砂の拡散幅を観察したもののが図-5である。曲線Aは(1)の場合の拡がりを、Bは(P)の河床表面での拡がり、Cは(A)のサンプリングで観察された拡がりを示す。B,Cは同じ実験で、崩落は通水後7分位に生じた。図の原点は置換した点の法先で、流下方向にx、横断方向にyをとっている。Cでは $x=2\text{cm}$ で $y=10\text{cm}$ 程に拡がるがAでは1~2cmであるが、 $y>10\text{cm}$ なら同一のyに対して拡がりの方向はほぼ等しい。また $x=70\text{cm}$ 位で流路中央 $y=30\text{cm}$ に達するが、 $x=500\text{cm}$ の下流端までで、中央を越える砂粒は極めて稀であった。つぎに内径6mmのサンプラーで河床を深さ約3~5cmまでの(A)の場合の着色砂の分布個数を図-6にContourまたは折線で示す。数字はサンプラー内に入った着色砂粒数である。崩落によて流路に入った前のピークは河岸近くの $y=2\text{cm}$ を進むが、ここは河岸斜面が平坦になる位置と大体一致する。また河岸からかなり離れた所まで崩落していく砂は、上流からの砂によって覆われることとか、図-5の曲線B,Cと図-6のContourからわかる。上のピークの移動速度は約 0.04cm/sec で平均的な河床移動厚さを1cmと仮定すると流砂量は単位幅当たり $0.04\text{cm}^3/\text{sec}\cdot\text{cm}$ で予想される値とよく一致する。(A)の場合、河床形態によつて一様に拡がっていくとは考えられないが、約1m流下すれば流路中央までほぼ一様になるようである。河岸砂の追跡実験は始めた所だけで、その量や方向と水理量の関係は今後検討を加えていくつもりである。

4. 河岸侵食量について 河岸侵食量の算定式としては、著者らの式 $\frac{dS}{dx} = N(E_T - T_c)$ ²と平野³⁾の式 $dS/dx = \frac{K}{\mu} \frac{1}{b} \sqrt{\frac{E_T}{L}} (E_T - T_c)$ があり、前者が掃流力分布を考慮しているのに對し、後者は河岸斜面こう配を考慮している。図-7に前者を検討してあるが、各実験ケース毎に比較的良くまとまっていて、それに適合する係数N_iを与える必要がある。図-8には後者を、黒野の実験に対し曲線A、著者らの $d_m = 0.88\text{ mm}$, $K = 10$ にて封じB, $d_m = 0.42\text{ mm}$, $K = 3$ に対しCで示して実験値と比較したものである。実験値は曲線よりも全体に上がる傾向をもつ。また河道から外向きの浸透(Negative Seepage)のある場合には、河岸侵食が生じにくいことを示している。崩落の有無による侵食量の変化は、この検討からは明確にできていません。

5.まとめ 以上、河岸侵食の停止と安定流路の仮定を述べ、河岸侵食砂の拡散現象にふれた。今後河岸近くの掃流力の分布と流砂の方向の分布、二次流の存在について検討し、横方向の侵食砂の連続関係から侵食機構をとらえたい。

<参考文献> 1) Replotke & Chow; Proc ASCE Vol. 92, HY2, 1966. 2) 村本・田中・

藤田; 京大防災研年報, 第15号B, 1972. 3) 平野; 土木学会論文報告集, 第210号, 1973.

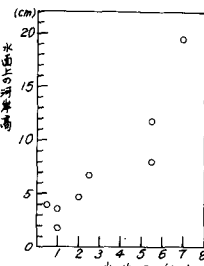


図-4

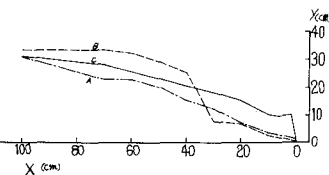


図-5 河岸侵食砂の拡がり幅

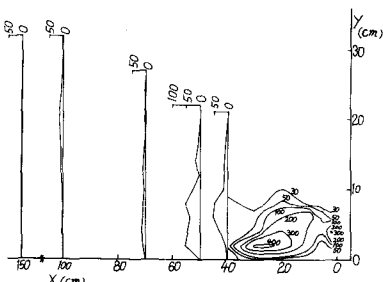


図-6 河岸侵食砂の分布

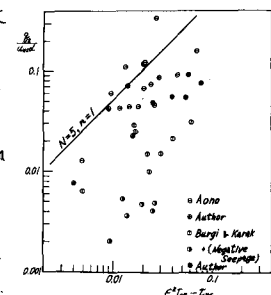


図-7 侵食量式の検討(1)

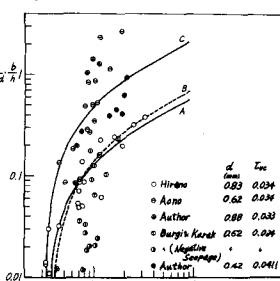


図-8 侵食量式の検討(2)